

УНИВЕРСИТЕТ ИТМО

Квантовая радиофизика

Лекция 5

Санкт-Петербург, 2018



Ядерная намагниченность

- ✓ У большого ($>10^6$) набора ядер с ненулевым спином, помещенного во внешнее постоянное магнитное поле, существует ненулевой магнитный момент
- ✓ Величина магнитного момента определяется индукцией магнитного поля, гиромагнитным отношением ядра, числом ядер, спином и температурой ансамбля

$$M_0 \approx N \frac{\gamma^2 \hbar^2 I(I + 1)}{3kT} B_0$$



Уравнения Блоха

- ✓ Движение ядерной намагниченности описывается уравнениями Блоха в стационарной или вращающейся системе координат

$$\frac{d\boldsymbol{\mu}}{dt} = \gamma[\boldsymbol{\mu} \times \mathbf{B}_0]$$

$$\left(\frac{d\boldsymbol{\mu}}{dt}\right)_{rot} = [\boldsymbol{\mu} \times (\mathbf{B}_0 + \boldsymbol{\Omega}/\gamma)]$$



Намагниченность в лабораторной системе координат

- ✓ В лабораторной системе координат намагниченность прецессирует с ларморовой частотой, пропорциональной величине магнитного поля и гиромагнитному отношению ядра

$$\omega_0 = \gamma B_0$$

- ✓ Разность фаз прецессии всех элементарных намагниченностей приводит к нулевому среднему значению равновесной поперечной намагниченности и ненулевому значению продольной $= M_0$



Намагниченность во вращающейся системе координат

- ✓ В системе координат, вращающейся вокруг направления магнитного поля с частотой ω_0 в присутствии переменного магнитного поля круговой поляризации частоты ω_0 , перпендикулярного постоянному магнитному полю намагниченность совершает поворот вокруг эффективного поля
- ✓ Воздействие импульса переменного магнитного поля на систему характеризуется углом поворота

$$\theta = \gamma B_1 \tau$$



Релаксация продольной составляющей намагниченности

- ✓ Из анализа разностей заселенности изолированного спинового ансамбля следует, что намагниченность будет возвращаться к величине M_0

$$\frac{dM_z(t)}{dt} = -\frac{M_z(t) - M_0}{T_1}$$

- ✓ После интегрирования

$$M_z(t) = M_0 - (M_0 - M_z(0))e^{-\frac{t}{T_1}}$$



Поперечная намагниченность

- ✓ Релаксация поперечной компоненты намагниченности феноменологически описывается путём введения в уравнения Блоха релаксационных членов

$$\frac{dM_x(t)}{dt} = -\frac{M_x(t)}{T_2}$$
$$\frac{dM_y(t)}{dt} = -\frac{M_y(t)}{T_2}$$

- ✓ После интегрирования и приведения к форме M_{\perp}

$$M_{\perp}(t) = M_{\perp}(0)e^{-\frac{t}{T_2}}$$



Время релаксации T_2^*

- ✓ Для ускоренного затухания можно ввести своё эффективное время релаксации T_2^*

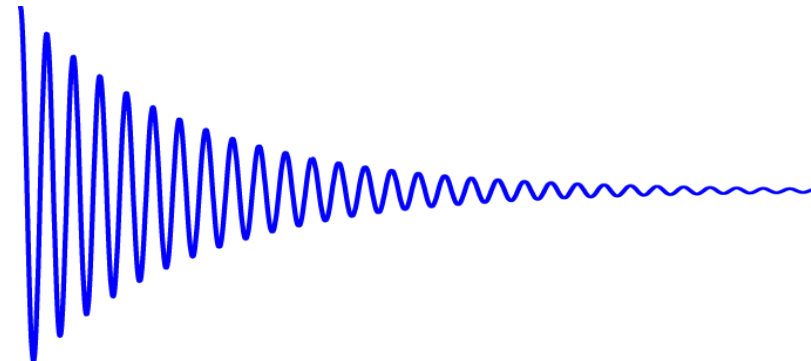
$$\frac{1}{T_2^*} = \frac{1}{T_2} + \gamma \Delta B_0$$

- ✓ T_2^* не связано с молекулярным движением и спин-спиновыми взаимодействиями, а отображает степень неоднородности используемого магнитного поля
- ✓ Возможен шимминг по длине FID

Спад намагниченности и его спектр

- ✓ Спад свободной индукции (FID)

$$S(t) = S_0 e^{i\omega_0 t} e^{-\frac{t}{T_2}}$$



- ✓ Преобразование Фурье

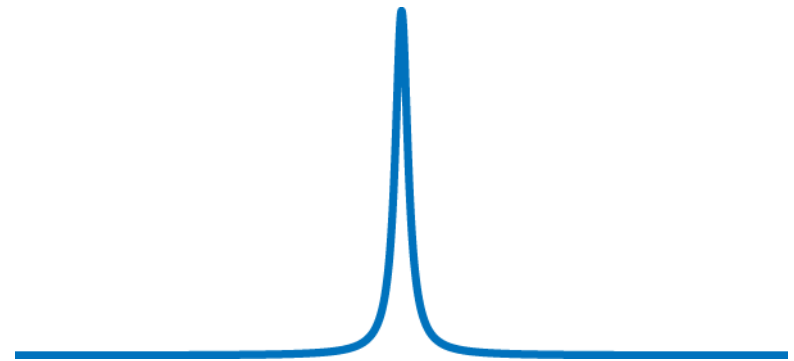
$$S(\omega) = S_0 \frac{\frac{1}{T_2} + i(\omega - \omega_0)}{(\omega - \omega_0)^2 + \frac{1}{T_2^2}}$$



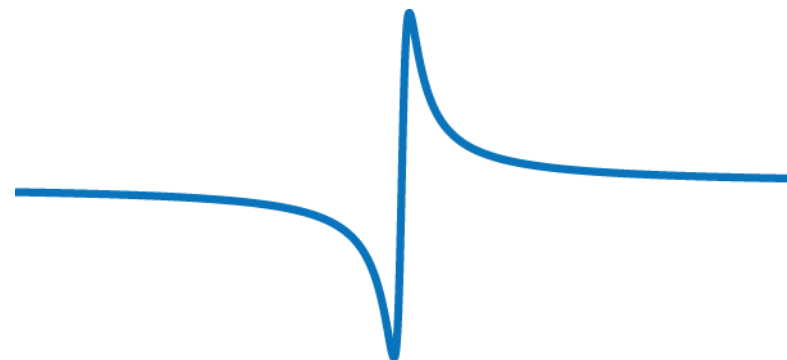
Поглощение и дисперсия

✓ Вещественная и мнимая части спектра

$$A(\omega) = S_0 \frac{\frac{1}{T_2}}{(\omega - \omega_0)^2 + \frac{1}{T_2^2}}$$



$$D(\omega) = S_0 \frac{(\omega - \omega_0)}{(\omega - \omega_0)^2 + \frac{1}{T_2^2}}$$





Коррекция фазы

- ✓ Нулевой порядок

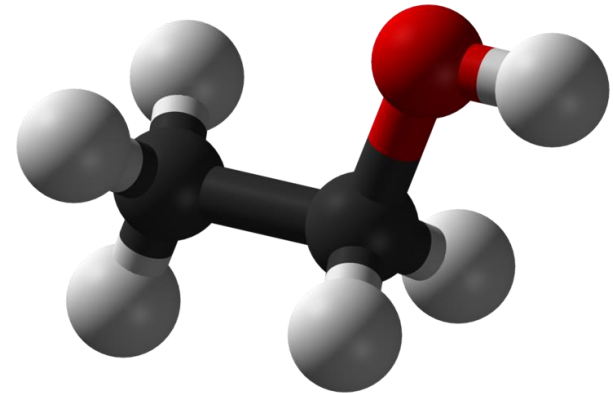
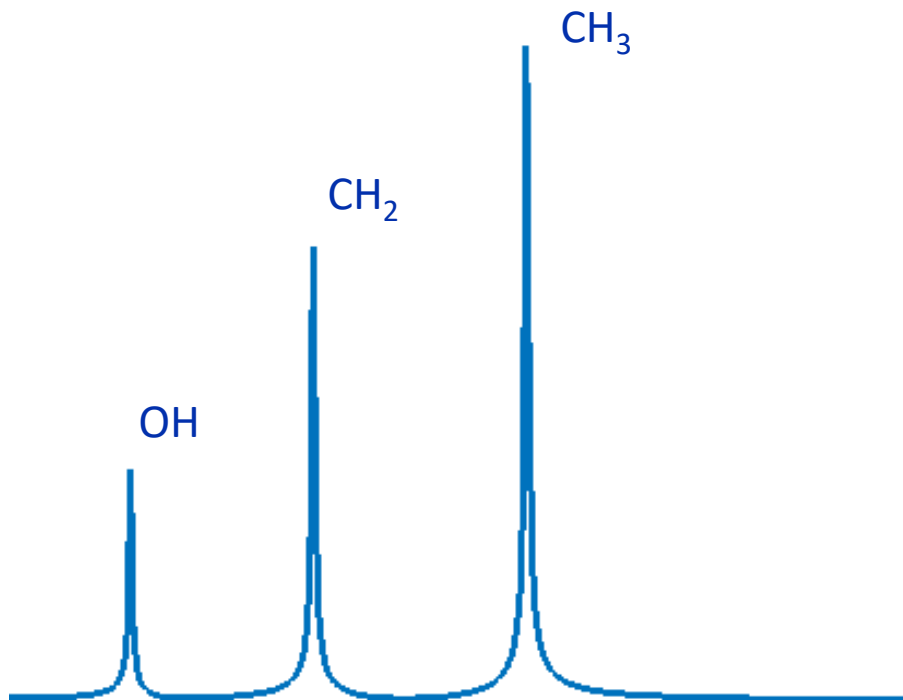
$$S_{corr}(\omega) = e^{-i\varphi_1} (S_x + iS_y)$$

- ✓ Первый порядок (для частичной коррекции нерезонансных эффектов)

$$S_{corr}(\omega) = e^{-i\varphi_2\omega} (S_x + iS_y)$$

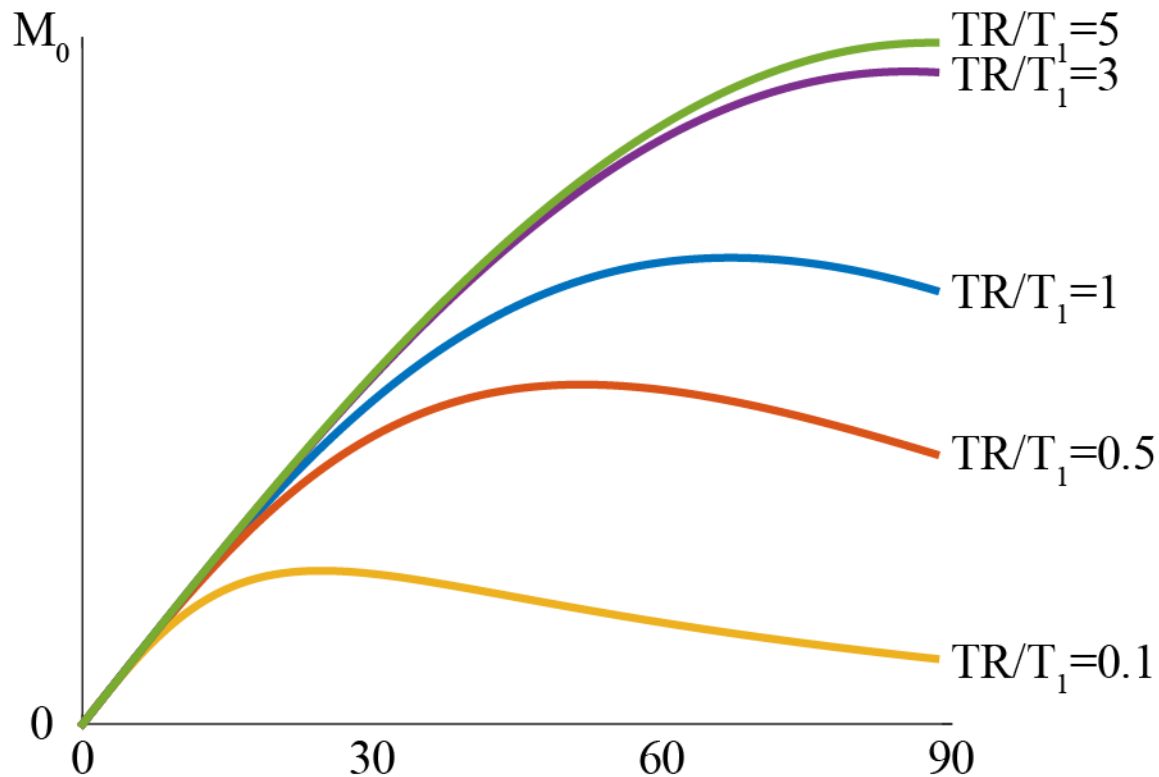
Измерение экранирования

- ✓ Магнитноэквивалентные состояния ($\text{CH}_3\text{-CH}_2\text{-OH}$)



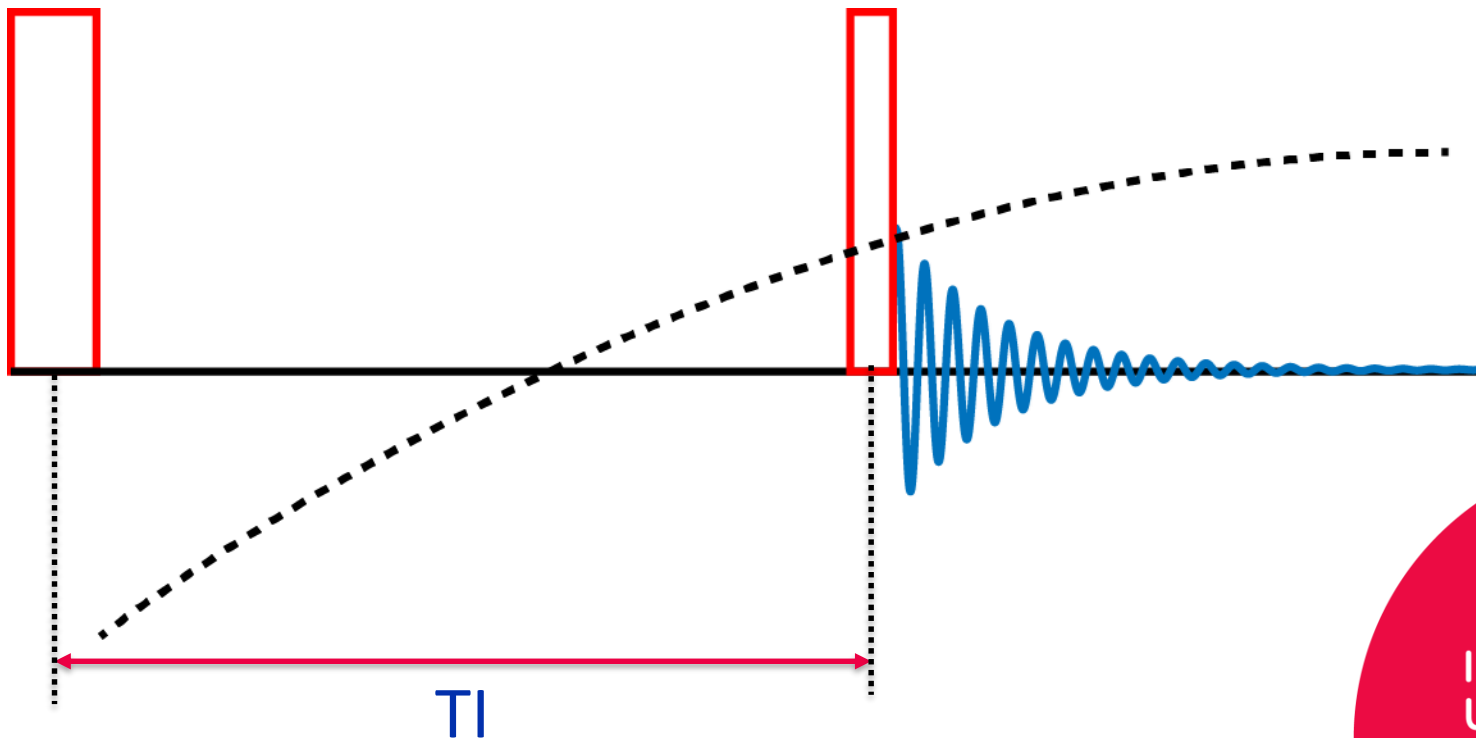
Интенсивность сигнала

✓ Зависимость от соотношения TR/T_1



Инверсия-восстановление

✓ Последовательность 180-90

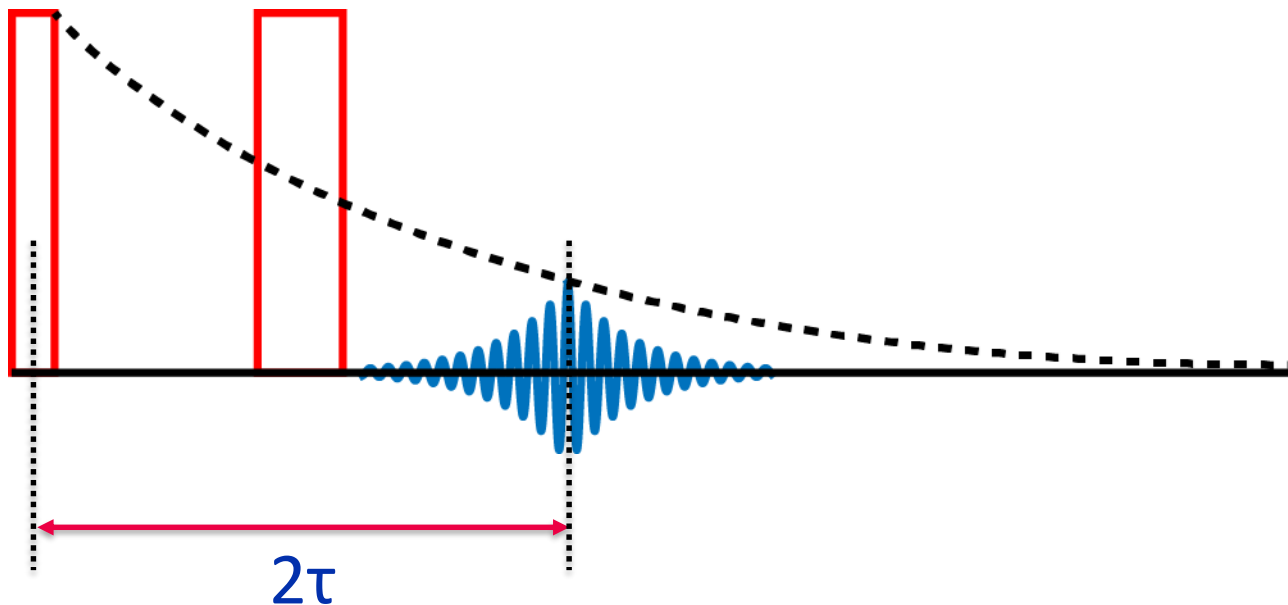




Релаксация при 90-180

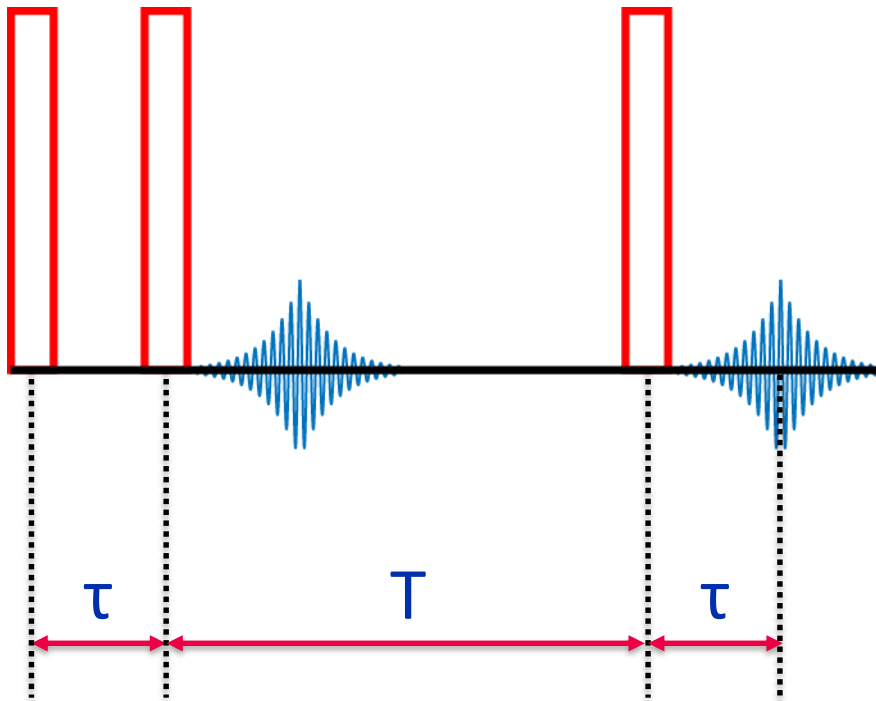
- ✓ Амплитуда сигнала

$$M_x(2\tau) = M_0 e^{-\frac{2\tau}{T_2}}$$



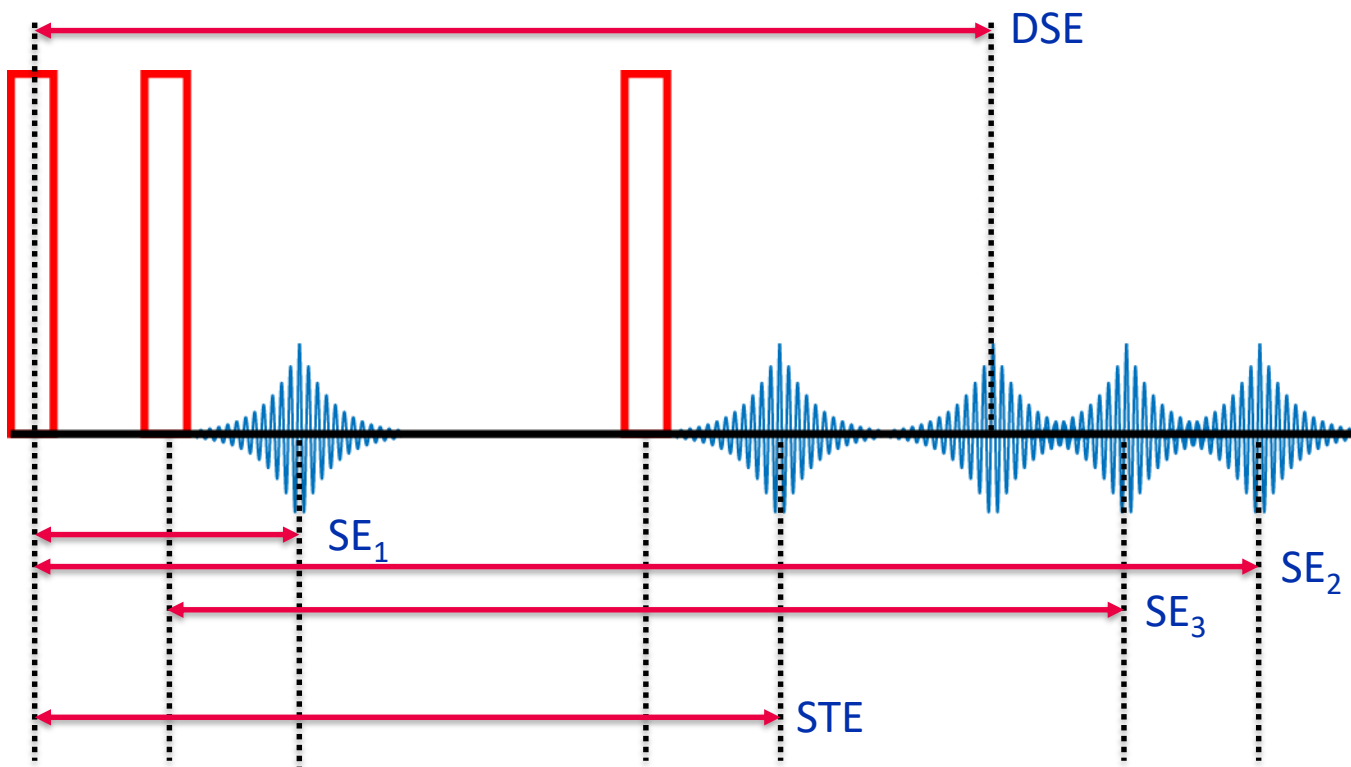
Стимулированное эхо 90-90-90

- ✓ Второе эхо в последовательности 90-90-90



Сигналы в последовательности α - α - α

✓ 5 сигналов эха

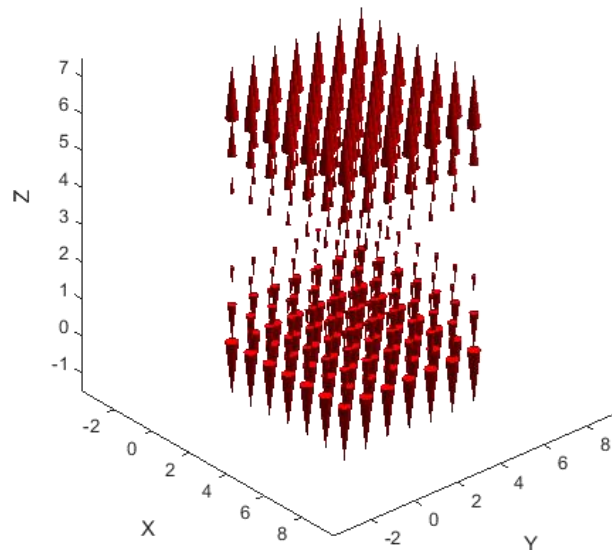
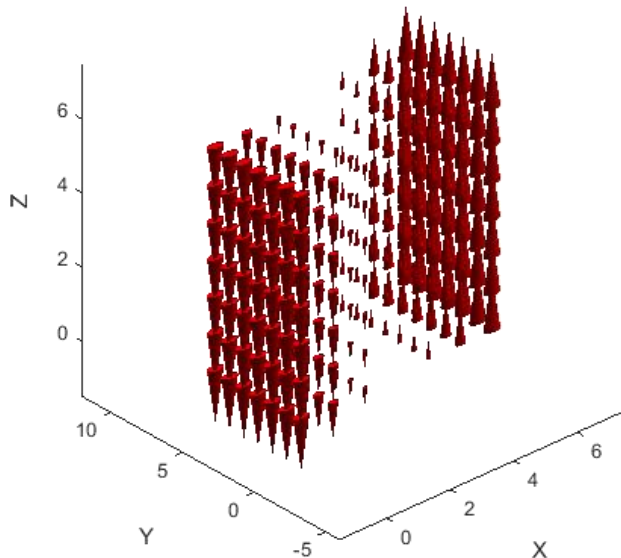


Пространственная
чувствительность
ЯМР-
экспериментов

Градиенты магнитного поля

- ✓ Контролируемая неоднородность магнитного поля
- ✓ Изменение компоненты B_z вдоль осей x , y , z или иного направления

$$B_z = B_0 + (\mathbf{G} \cdot \mathbf{r})$$





Уравнения Блоха в присутствии градиента магнитного поля

- ✓ Во вращающейся системе координат, без учета релаксационных эффектов

$$\frac{d\mu_{\perp}}{dt} = -i\gamma(\mathbf{G} \cdot \mathbf{r})\mu_{\perp}$$

$$\frac{d\mu_z}{dt} = 0$$



FID в присутствии градиента магнитного поля

- ✓ Решение уравнений для намагниченности с начальными значениями продольной и поперечной компонент $\mu_T(0)$ и $\mu_z(0)$

$$\mu_{\perp}(t) = \mu_{\perp}(0)e^{-i\gamma(\mathbf{G}\cdot\mathbf{r})t}$$

$$\mu_z(t) = \mu_z(0)$$

- ✓ При сонаправленности градиента, например, оси x

$$\mu_{\perp}(t, x) = \mu_{\perp}(0)e^{-i\gamma Gxt}$$

Спектр FID в присутствии градиента B_z

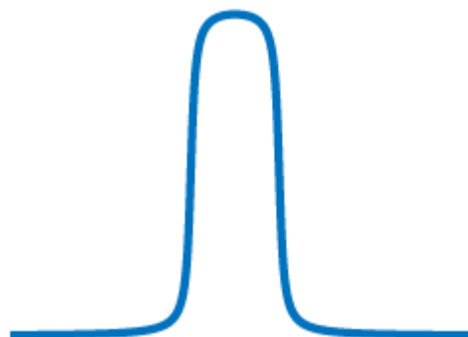
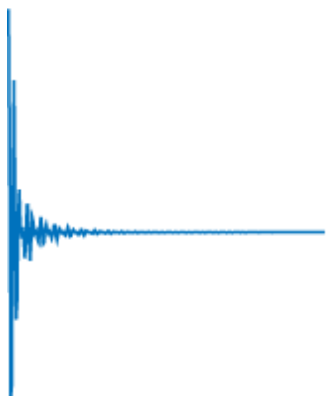
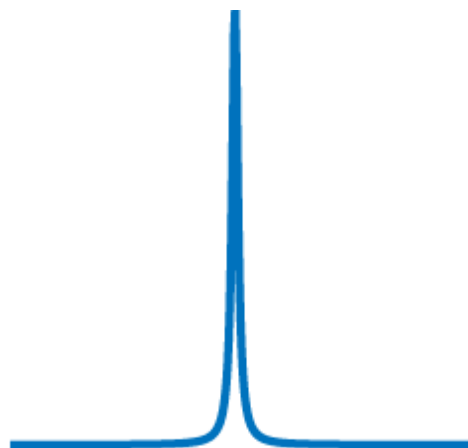
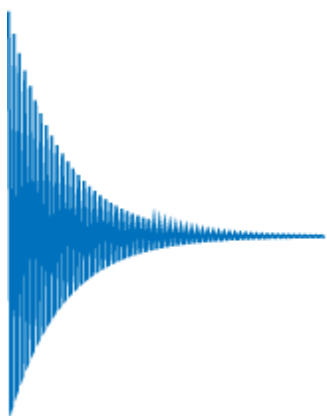
- ✓ Сигнал (от всего образца)

$$\mu_{\perp}(t) = \int \mu_{\perp}(0, x) e^{-i\gamma G x t} dx$$

- ✓ Спектр

$$\mu_{\perp}(\gamma G x) = \mu_{\perp}(0, x)$$

FID в присутствии градиента B_z



Чувствительность ЯМР- экспериментов к движению



Движение частиц при воздействии градиента

✓ $x=x(t)$

$$\frac{d\mu_{\perp}}{dt} = -i\gamma G x(t)\mu_{\perp}$$

$$\mu_{\perp}(t, x) = \mu_{\perp}(0)e^{-i\gamma \int Gx(t)dt}$$

✓ Рассмотрим разложение $x(t)$ в ряд

$$x(t) = x_0 + \frac{\partial x}{\partial t} t + \frac{1}{2} \frac{\partial^2 x}{\partial t^2} t^2 + \dots$$



Фаза сигнала при движении частиц

- ✓ Фазовые члены в выражении для намагниченности

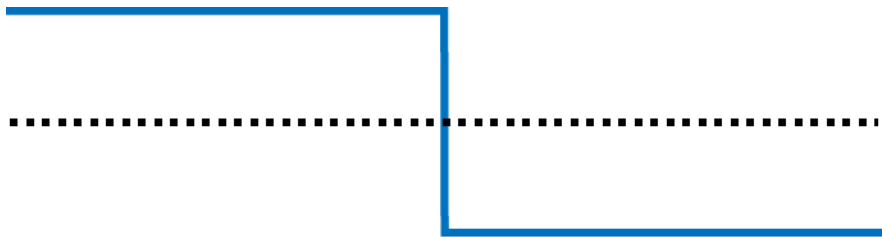
$$\int Gx(t) dt = x_0 \int G dt + \frac{\partial x}{\partial t} \int Gt dt + \frac{1}{2} \frac{\partial^2 x}{\partial t^2} \int Gt^2 dt + \dots$$

- ✓ Можно подобрать форму $G=G(t)$ таким образом, чтобы выполнялось одно или несколько равенств

$$\int G(t) dt = 0 \quad \int G(t)t dt = 0 \quad \int G(t)t^2 dt = 0$$

Метод обнуления моментов градиентов

- ✓ Устранение чувствительности к производной координаты



$$\int G(t) dt = 0 \quad \int G(t)t dt \neq 0$$

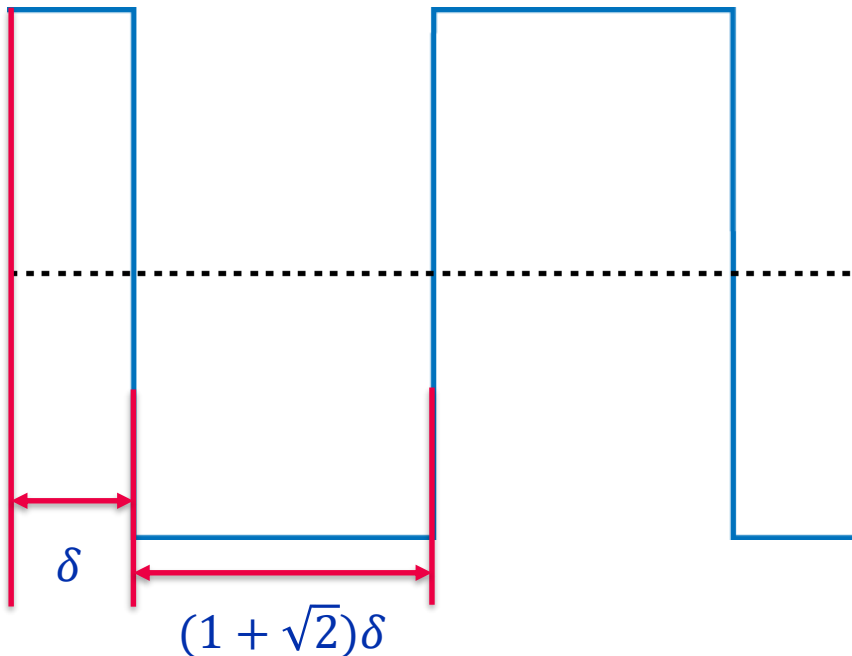


$$\int G(t) dt = 0 \quad \int G(t)t dt = 0$$



Метод обнуления моментов градиентов

- ✓ Устранение чувствительности к ускорению



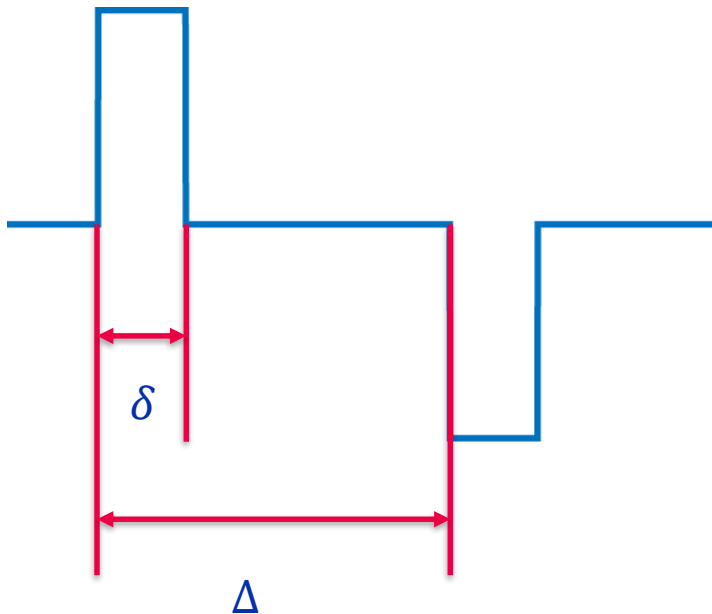
$$\int G(t) dt = 0$$

$$\int G(t)t dt = 0$$

$$\int G(t)t^2 dt = 0$$

Измерение скорости фазовым методом

- ✓ Используется последовательность с импульсным градиентом с нулевым первым моментом
- ✓ Предполагается ламинарный поток



$$\int Gx(t) dt = \frac{\partial x}{\partial t} \int G(t)t dt$$



Вклад скорости в фазу сигнала

- ✓ Выражение для сигнала ЯМР

$$\mu_{\perp}(TE) = \mu_{\perp}(0)e^{-i\gamma G\delta\Delta v}$$

- ✓ Два эксперимента с импульсами градиента разной полярности (вариант +G/-G или +G/0)

$$\Delta\varphi = 2v\gamma G\delta\Delta$$

- ✓ Точность определения фазы = $\pm\pi$

$$v_{enc} = \frac{\pi}{2\gamma G\delta\Delta}$$



Движение частиц в экспериментах ЯМР

- ✓ Пространственная зависимость вводится градиентом магнитного поля

$$B_z = B_0 + (\mathbf{G} \cdot \mathbf{r})$$

- ✓ Макроскопическое движение

$$\mu_{\perp}(t, x) = \mu_{\perp}(0) e^{-i\gamma \left(x_0 \int G dt + \frac{\partial x}{\partial t} \int G t dt + \frac{1}{2} \frac{\partial^2 x}{\partial t^2} \int G t^2 dt + \dots \right)}$$

- ✓ Уравнения Блоха-Торри (диффузия)

$$\frac{d\mu_{\perp}}{dt} = -i\gamma(\mathbf{G} \cdot \mathbf{r})\mu_{\perp} + \nabla \mathbf{D} \nabla \mu_{\perp}$$

Диффузия в ЯМР



Диффузия в ЯМР

- ✓ Решение уравнений Блоха-Торри для одномерной изотропной диффузии

$$\mu_{\perp} = \mu_{\perp}(0) e^{-i\gamma x \int_0^t G(t) dt} e^{-Db}$$

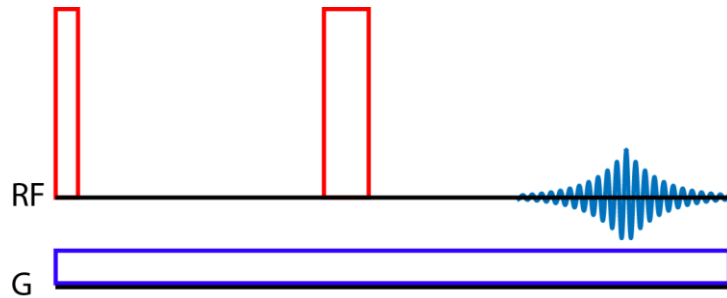
- ✓ В терминах эффективного градиента

$$b = \gamma^2 \int_0^t \left[\int_0^{\tau} G(t') dt' \right]^2 d\tau$$

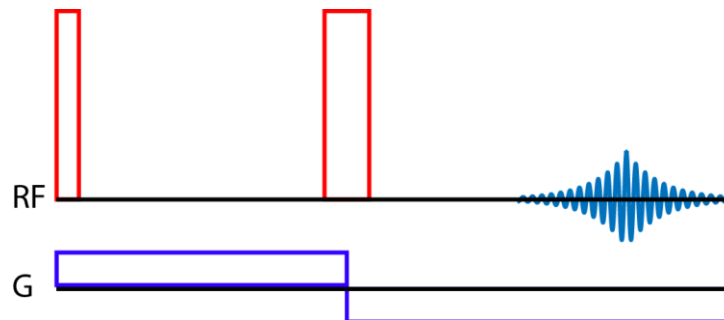
Эффективный градиент

✓ Направление градиента магнитного поля с точки зрения создаваемого набега фазы

✓ Фактический градиент



✓ Эффективный градиент



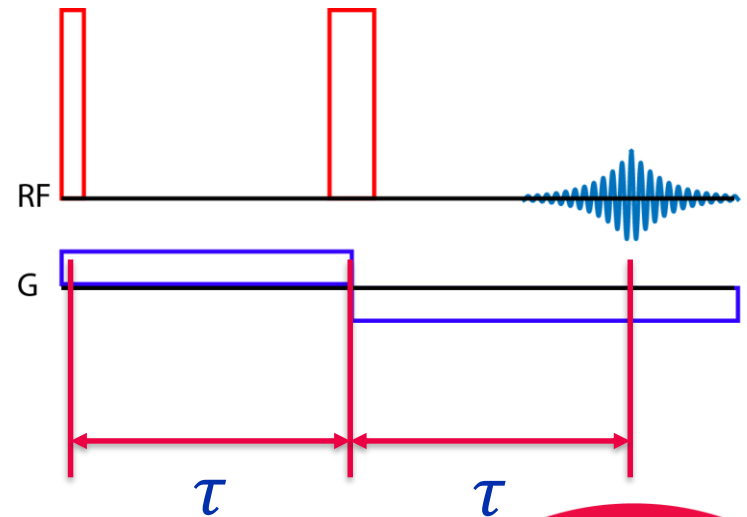
Постоянный градиент

- ✓ Диффузная взвешенность вследствие постоянного градиента

$$b = \gamma^2 \int_0^t \left[\int_0^\tau G(t') dt' \right]^2 d\tau$$

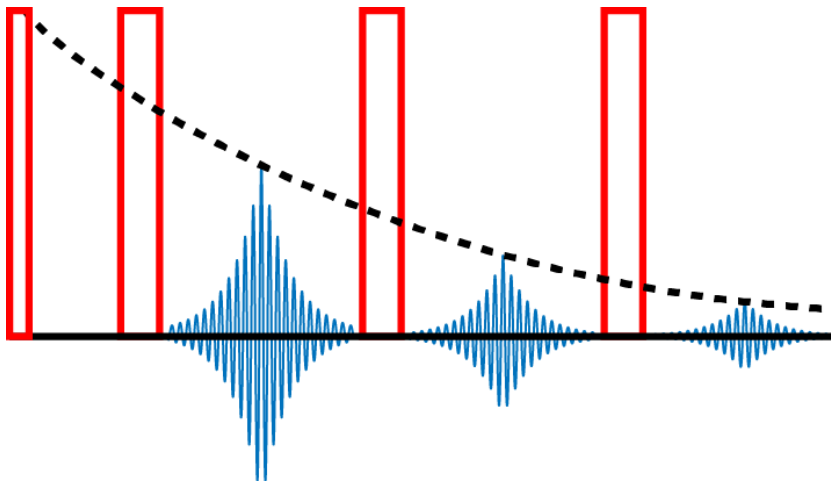
- ✓ Амплитуда сигнала

$$\mu_{\perp} \sim e^{-\frac{2}{3} D \gamma^2 G^2 \tau^3}$$



Ошибка в измерении T_2

- ✓ При наличии неучтенного градиента магнитного поля в CPMG-последовательности возникает дополнительная взвешенность

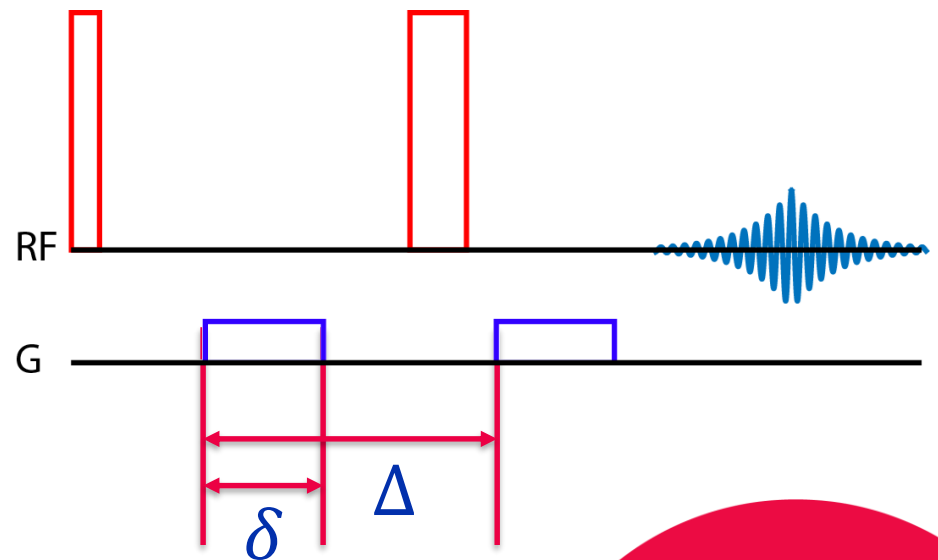


$$\mu_{\perp} \sim e^{-\frac{t_n}{T_2}} e^{-\frac{t_n^3}{12n^2} D \gamma^2 G^2}$$

Импульсный градиент

- ✓ Измерение диффузии методом спинового или стимулированного эха
- ✓ Амплитуда сигнала

$$\mu_{\perp} \sim e^{-D\gamma^2 G^2 \delta^2 \left(\Delta - \frac{\delta}{3}\right)}$$





Измерение диффузии

- ✓ 2 эксперимента с одинаковыми параметрами τ , Δ , δ , но различной величиной градиента ($b_2=0$, $b_1=b_1$)

$$\ln \left(\frac{\mu_{\perp 1}}{\mu_{\perp 2}} \right) = -b_1 D = -D \gamma^2 G^2 \delta^2 \left(\Delta - \frac{\delta}{3} \right)$$



Анизотропная диффузия

- ✓ Уравнение Блоха-Торри

$$\frac{d\mu_{\perp}}{dt} = -i\gamma(\mathbf{G} \cdot \mathbf{r})\mu_{\perp} + \nabla \mathbf{D} \nabla \mu_{\perp}$$

$$\nabla \mathbf{D} \nabla = \begin{pmatrix} \frac{\partial}{\partial x} \\ \frac{\partial}{\partial y} \\ \frac{\partial}{\partial z} \end{pmatrix} \begin{pmatrix} D_{xx} & D_{xy} & D_{xz} \\ D_{yx} & D_{yy} & D_{yz} \\ D_{zx} & D_{zy} & D_{zz} \end{pmatrix} \begin{pmatrix} \frac{\partial}{\partial x} \\ \frac{\partial}{\partial y} \\ \frac{\partial}{\partial z} \end{pmatrix} = \sum_{x_i=x,y,z} \sum_{x_j=x,y,z} D_{x_i x_j} \frac{\partial}{\partial x_i} \frac{\partial}{\partial x_j}$$



Влияние анизотропной диффузии

- ✓ Решение уравнений Блоха-Торри

$$\mu_{\perp} = \mu_{\perp}(0)A(t)e^{-i\gamma \int_0^t (\mathbf{G} \cdot \mathbf{r}) dt'}$$

$$\mu_{\perp} = \mu_{\perp}(0)e^{-i\gamma \int_0^t (\mathbf{G} \cdot \mathbf{r}) dt'} e^{-\mathbf{b} : \mathbf{D}}$$

$$\mathbf{b} : \mathbf{D} = \sum_{x_i=x,y,z} \sum_{x_j=x,y,z} D_{x_i x_j} \int_0^t \left[\int_0^{\tau} G_{x_i}(t') dt' \right] \left[\int_0^{\tau} G_{x_j}(t') dt' \right] d\tau$$



Измерение анизотропной диффузии

- ✓ b -матрица определяет величину диффузной взвешенности

$$b_{ij} = \int_0^t \left[\int_0^{\tau} G_{x_i}(t') dt' \right] \left[\int_0^{\tau} G_{x_j}(t') dt' \right] d\tau$$

- ✓ При наличии эксперимента с $b_{ij}=0$

$$\ln \left(\frac{\mu_{\perp 1}}{\mu_{\perp 0}} \right) = -\mathbf{b} : \mathbf{D}$$



Вычисление элементов тензора самодиффузии

- ✓ Величина сигнала – линейная комбинация из 6 неизвестных переменных

$$\ln \left(\frac{\mu_{\perp 1}}{\mu_{\perp 0}} \right) = - \sum_{x_i=x,y,z} \sum_{x_j=x,y,z} D_{x_i x_j} \int_0^t \left[\int_0^{\tau} G_{x_i}(t') dt' \right] \left[\int_0^{\tau} G_{x_j}(t') dt' \right] d\tau$$

- ✓ Тогда для, например, 6 измерений с различными направлениями градиентов можно записать

$$\mathbf{a} = \mathbf{B}d$$



Решение системы уравнений

- ✓ Результаты 6 измерений

$$\mathbf{a} = \mathbf{B}\mathbf{d}$$

$$\mathbf{B} = \begin{pmatrix} b_{xx}^1 & b_{xx}^2 & \dots \\ b_{xy}^1 & b_{xy}^2 & \dots \\ \vdots & \vdots & \ddots \end{pmatrix} \quad \mathbf{a} = \begin{pmatrix} \ln\left(\frac{\mu_{\perp 1}}{\mu_{\perp 0}}\right) \\ \ln\left(\frac{\mu_{\perp 2}}{\mu_{\perp 0}}\right) \\ \vdots \end{pmatrix} \quad \mathbf{d} = (D_{xx} \quad D_{xy} \quad \dots)$$

- ✓ Можно вычислить псевдоинверсную матрицу для \mathbf{B} и таким образом вычислить \mathbf{d}



УНИВЕРСИТЕТ ИТМО

Спасибо за внимание!